

文章编号:1004-2474(2014)01-0100-03

# A位取代对PZN-PNN-PZT压电陶瓷性能的影响

冯小东,蹇胜勇,刘相果

(中国电子科技集团公司第26研究所,重庆 400060)

**摘要:**以固态氧化物为原料,采用固态合成工艺制备 $\text{Pb}(\text{Zn}_{1/3}\text{Nb}_{2/3})\text{O}_3\text{-Pb}(\text{Ni}_{1/3}\text{Nb}_{2/3})\text{O}_3\text{-Pb}(\text{ZrTi})\text{O}_3$ (PZN-PNN-PZT)压电陶瓷,并研究了锆钛比( $r(\text{Zr})/r(\text{Ti})$ )、 $\text{Ba}^{2+}$ 的A位取代及 $\text{Ba}^{2+}$ 、 $\text{La}^{3+}$ 的A位复合取代对压电陶瓷电性能的影响。结果表明,PZN-PNN-PZT压电陶瓷在 $r(\text{Zr})/r(\text{Ti})=1.03$ 下,进行 $\text{Ba}^{2+}$ 、 $\text{La}^{3+}$ 的A位复合取代后,即式子在 $\text{Pb}_{0.92}\text{Ba}_{0.04}\text{La}_{0.04}(\text{Ni}_{1/3}\text{Nb}_{2/3})_y(\text{Zn}_{1/3}\text{Nb}_{2/3})_z\text{Zr}_m\text{Ti}_n\text{O}_3$ 时压电性能最佳,其介电常数 $\epsilon_{33}^T/\epsilon_0=5657$ ,压电常数 $d_{33}=709 \text{ pC/N}$ ,机电耦合系数 $k_p=0.69$ ,品质因数 $Q_m=45$ ,居里温度 $T_c=180.9^\circ\text{C}$ 。

**关键词:** $\text{Pb}(\text{Zn}_{1/3}\text{Nb}_{2/3})\text{O}_3\text{-Pb}(\text{Ni}_{1/3}\text{Nb}_{2/3})\text{O}_3\text{-Pb}(\text{ZrTi})\text{O}_3$ (PZN-PNN-PZT)压电陶瓷;高介电常数;高压电常数

中图分类号:TM281;TN384 文献标识码: $\Lambda$

## Influence of A Site Com-replacing on Properties of PZN-PNN-PZT Piezoelectric Ceramic

FENG Xiaodong, JIAN Shengyong, LIU Xiangguo

(26th Institute of China Electronics Technology Group Corporation, Chongqing 400060, China)

**Abstract:** The lead zincate niobate (PZN)-lead nickelate(PNN)-lead zirconate titanate(PZT) piezoelectric ceramics were prepared by solid-synthesis process with the solid oxides as raw materials. The influences of  $r(\text{Zr})/r(\text{Ti})$  ratio, A-site replacing Pb with  $\text{Ba}^{2+}$  and com-replacing Pb with  $\text{Ba}^{2+}$  and  $\text{La}^{3+}$  were investigated. The results have shown that the piezoelectric properties are optimal (that is, the formula is  $\text{Pb}_{0.92}\text{Ba}_{0.04}\text{La}_{0.04}(\text{Ni}_{1/3}\text{Nb}_{2/3})_y(\text{Zn}_{1/3}\text{Nb}_{2/3})_z\text{Zr}_m\text{Ti}_n\text{O}_3$ ). The dielectric constant  $\epsilon_{33}^T/\epsilon_0$  is 5657, piezoelectric constant  $d_{33}$  is 709 pC/N, electromechanical coupling coefficient  $k_p$  is 0.69, Q factor  $Q_m$  is 45, and the Curie temperature  $T_c$  is 180.9 °C.

**Key words:** PZN-PNN-PZT piezoelectric ceramic; high dielectric constant; high piezoelectric constant

### 0 引言

近几年,随着压电传感器、压电变压器及压电马达等各类压电陶瓷驱动器的出现,要求压电材料具有更高的压电常数( $d_{33}$ )、介电常数、机电耦合系数( $k_p$ )及高稳定性。

以压电陶瓷(PZT)为基础,通过添加各种不同复合钙钛矿型化合物组分而形成的三元系、四元系及多元系压电陶瓷材料的出现,使压电陶瓷的应用前景越来越广<sup>[1-3]</sup>。

$\text{Pb}(\text{Zn}_{1/3}\text{Nb}_{2/3})\text{O}_3\text{-Pb}(\text{Ni}_{1/3}\text{Nb}_{2/3})\text{O}_3\text{-Pb}(\text{ZrTi})\text{O}_3$ (PZN-PNN-PZT)是典型的四元系压电陶瓷,它具有高介电常数。

### 1 试验过程

将 $\text{Pb}_3\text{O}_4$ (99.5%)、 $\text{ZnO}$ (99.5%)、 $\text{Nb}_2\text{O}_5$ (99.99%)、 $\text{ZrO}_2$ (99.5%)、 $\text{NiO}$ (分析纯)、 $\text{TiO}_2$ (99.5%)、 $\text{BaCO}_3$ (分析纯)、 $\text{La}_2\text{O}_3$ (99.9%)等原材

料按配方 $\text{Pb}_x\text{Me}_{(1-x)}(\text{Ni}_{1/3}\text{Nb}_{2/3})_y(\text{Zn}_{1/3}\text{Nb}_{2/3})_z\text{Zr}_m\text{Ti}_n\text{O}_3$ 给定的组分称取原料,在橡皮斗内用钢球作磨介的振动球磨机中振磨,用 $\text{Al}_2\text{O}_3$ 坩埚以900~1 000 °C预烧。所得瓷料经粉碎后再次放入橡皮斗内细磨后经干压成型,做成 $\varnothing 10 \text{ mm} \times 1.0 \text{ mm}$ 的圆片,经排胶后烧成,烧成温度为1 260~1 340 °C,被银后在80~100 °C的硅油中外加2 kV/mm的直流电场极化后获得测试样品。

用LCR测试仪在1 kHz的频率下测试自由电容 $C^T$ ,算出介电常数 $\epsilon_{33}^T/\epsilon_0$ ,用阻抗分析仪测试出 $k_p$ 及机械品质因数 $Q_m$ ,采用准静态法测量 $d_{33}$ ,同时,用扫描电子显微镜来观察陶瓷面,用差热分析仪测试居里温度( $T_c$ )。

### 2 结果分析与讨论

#### 2.1 $r(\text{Zr})/r(\text{Ti})$ 对介电常数的影响

将 $\text{Pb}(\text{Ni}_{1/3}\text{Nb}_{2/3})_y(\text{Zn}_{1/3}\text{Nb}_{2/3})_z\text{Zr}_m\text{Ti}_n\text{O}_3$ 的

收稿日期:2013-05-29

作者简介:冯小东(1984-),男,甘肃陇西人,工程师,硕士,主要从事特种功能材料及器件的研究。

$y, z$ 值固定在0.06~0.16,  $r(\text{Zr})/r(\text{Ti})$ 变化对 $\epsilon_{33}^T/\epsilon_0$ 、 $k_p$ 及 $d_{33}$ 、 $Q_m$ 的影响结果如图1, 2所示。当 $r(\text{Zr})/r(\text{Ti})=1.03$ 时,  $d_{33}=485 \text{ pC/N}$ 达到最大值, 而 $\epsilon_{33}^T/\epsilon_0=3500$ ,  $k_p=0.60$ ,  $Q_m=90$ 。

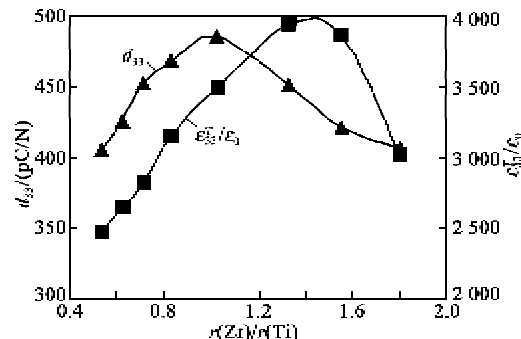


图1  $r(\text{Zr})/r(\text{Ti})$ 变化对 $d_{33}$ 、 $\epsilon_{33}^T/\epsilon_0$ 影响

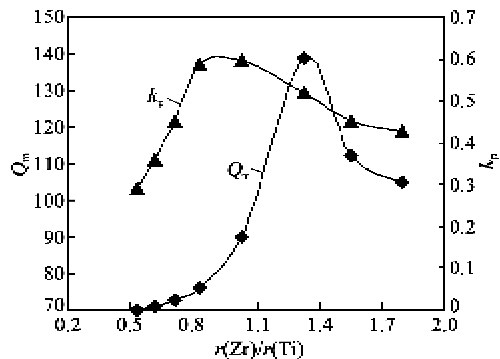


图2  $r(\text{Zr})/r(\text{Ti})$ 变化对 $Q_m$ 、 $k_p$ 影响

## 2.2 Ba取代对压电陶瓷性能的影响

采用 $\text{Ba}^{2+}$ 进行A位取代, 即 $\text{Pb}_{x}\text{Ba}_{(1-x)}(\text{Ni}_{1/3}\text{Nb}_{2/3})_y(\text{Zn}_{1/3}\text{Nb}_{2/3})_z\text{Zr}_m\text{Ti}_n\text{O}_s$ ,  $x=1\sim 0.8$ , 其他原料用量采用第2.1节的实验结果, 实验过程与前述一致。用不同量的 $\text{Ba}^{2+}$ 取代 $\text{Pb}^{2+}$ 后,  $x$ 的变化对压电陶瓷材料性能的影响如图3、4所示。由图可见,  $\text{Ba}^{2+}$ 的掺入改善了压电陶瓷材料的各项电性能指标, 即当 $x\approx 0.92$ 时, 压电陶瓷材料的 $d_{33}$ 达到最大( $593 \text{ pC/N}$ ),  $k_p=0.62$ ,  $Q_m=58$ 。当 $x\approx 0.88$ 时, 压电陶瓷材料的 $\epsilon_{33}^T/\epsilon_0$ 达到最大值, 为4893, 由于Ba的离子半径与Pb的离子半径相近( $\text{Ba}^{2+}$ 半径为135 pm,  $\text{Pb}^{2+}$ 半径为119 pm), 化学价与Pb原子相同,  $\text{Ba}^{2+}$ 进入晶格后将取代A位的 $\text{Pb}^{2+}$ , 一方面在晶胞中取代Pb位置后, 不会破坏晶胞的电中性, 也不会破坏氧八面体结构, 另一方面, Ba离子取代Pb离子后, 将使晶体中产生晶格畸变, 使晶胞体积增大( $a$ 轴和 $c$ 轴都略有伸长), 通常, 一个取代离子可引起附近几十个晶胞发生畸变, 这样有利于极化时电畴的定向排列, 特别是作90°转向很难的电畴也变

得容易, 因此取代后这种适度的晶格畸变, 可使材料的压电性得到充分发挥, 促使压电材料性能提高。压电陶瓷材料 $\epsilon_{33}^T/\epsilon_0$ 、 $k_p$ 、 $Q_m$ 随着Ba含量的增加而升高, 但当Ba含量达到一定数量时,  $\epsilon_{33}^T/\epsilon_0$ 等参数不再有明显增加, 材料的压电性也开始逐渐变差。这是因为 $\text{Ba}^{2+}$ 含量过高会使晶体中晶格排列变得相对有序, 畸变程度减小, 材料压电性能变差。

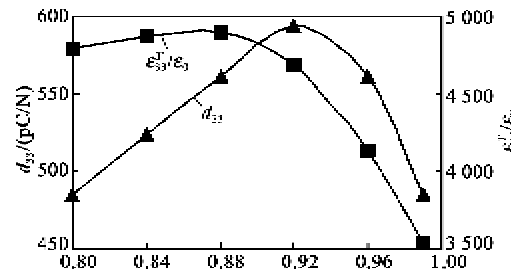


图3  $\text{Ba}^{2+}$ 加入量对 $d_{33}$ 和 $\epsilon_{33}^T/\epsilon_0$ 的影响

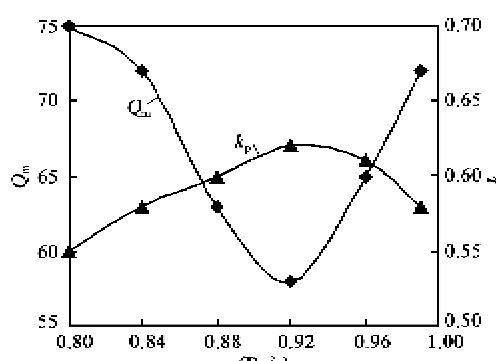


图4  $\text{Ba}^{2+}$ 加入量对 $Q_m$ 、 $k_p$ 的影响

## 2.3 $\text{Ba}^{2+}$ 、 $\text{La}^{3+}$ 复合取代对压电陶瓷性能及微观结构的影响

采用 $\text{Ba}^{2+}$ 与 $\text{La}^{3+}$ 对A位进行复合取代, 即 $\text{Pb}_x\text{Ba}_{(1-x-e)}\text{La}_e(\text{Ni}_{1/3}\text{Nb}_{2/3})_y(\text{Zn}_{1/3}\text{Nb}_{2/3})_z\text{Zr}_m\text{Ti}_n\text{O}_s$ ,  $x=0.92$ ,  $e=0\sim 0.08$ , 其他原料用量采用第2.1节实验结果。实验过程与前述一致。用 $\text{Ba}^{2+}$ 与 $\text{La}^{3+}$ 对A位进行复合取代后,  $e$ 值的变化对压电陶瓷材料性能的影响如图5、6所示。将图3、4与图5、6相比可知,  $\text{Ba}^{2+}$ 与 $\text{La}^{3+}$ 的复合取代大幅改善了压电陶瓷材料的各项性能指标,  $\text{Ba}^{2+}$ 、 $\text{La}^{3+}$ 复合取代比 $\text{Ba}^{2+}$ 单独取代对压电陶瓷材料的各项性能指标有更大的提升, 当 $x=0.92$ ,  $e\approx 0.04$ 时性能最佳, 压电陶瓷材料的 $d_{33}$ 达到最大( $709 \text{ pC/N}$ ), 压电陶瓷材料的 $\epsilon_{33}^T/\epsilon_0$ 增大至5657, 当再增大 $e$ 值时, 陶瓷性能开始下降。一方面, 由于 $\text{La}$ 的离子半径较 $\text{Ba}$ 离子和 $\text{Pb}$ 离子半径都大, 会使晶体的晶格畸变加剧, 提高压电性, 另一方面, 由于 $\text{La}_2\text{O}_3$ 为软性添

加物,  $\text{La}^{3+}$  取代  $\text{Pb}^{2+}$  后, 根据电中性的要求, 样品中会出现  $\text{Pb}$  空位, 因为  $\text{PbO}$  在高温时挥发性强, 出现  $\text{Pb}$  空位是保持电中性的方便途径<sup>[4]</sup>。晶胞出现  $\text{Pb}$  空位后, 晶格产生畸变, 这样, 电畴壁运动较易进行, 在相当小的电场或机械力的作用下, 就能使畴壁运动, 所以提高了样品的压电性和样品的介电常数, 增大了样品  $k_p$ , 但由于畴壁运动的增加, 要引起内部损耗增加, 所以  $Q_m$  变小, 即降低了样品  $Q_m$ 。

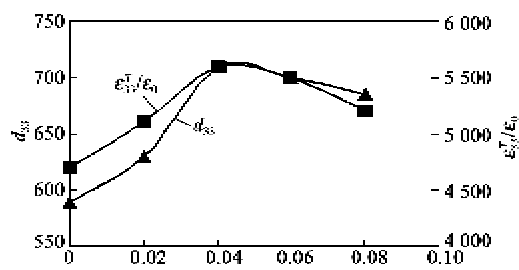


图 5  $\text{La}^{3+}$  加入量对  $d_{33}$  和  $\epsilon_{33}/\epsilon_0$  影响

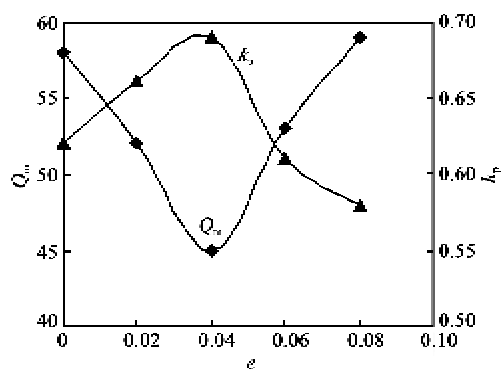


图 6  $\text{La}^{3+}$  加入量对  $Q_m$ 、 $k_p$  的影响

图 7 为第 2.3 节实验下的 SEM 显微组织, 由图可知, 所得到的压电陶瓷样品结构致密, 平均粒径约为  $\varnothing(3\sim5)\mu\text{m}$ , 晶粒大小一致性好。

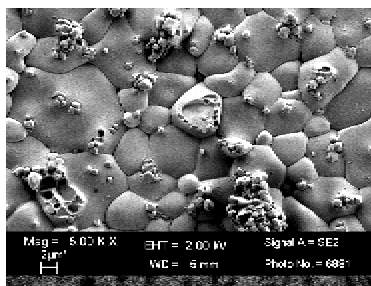


图 7 样品 SEM 微观结构图

## 2.4 各种取代对陶瓷材料居里温度的影响

图 8 为  $A$  位各种取代对 PZN-PNN-PZT 陶瓷材料  $T_c$  的影响。由图 8(a)可知, 当  $r(\text{Zr})/r(\text{Ti})=1.03$  时, 未进行取代的材料的  $T_c$  分别为  $243.2^\circ\text{C}$  和  $286.9^\circ\text{C}$  两个点, 经理论计算对比可判断材料的

$T_c$  应为  $286.9^\circ\text{C}$ 。由图 8(b)可知, 在  $\text{Ba}^{2+}$  进行  $A$  位取代后, 当  $x=0.92$  时, 材料的  $T_c=194.3^\circ\text{C}$ , 下降较大。由图 8(c)可知, 采用  $\text{Ba}^{2+}$  与  $\text{La}^{3+}$  对  $A$  位进行复合取代后, 当  $x=0.92, e=0.04$  时, 陶瓷材料的  $T_c=180.9^\circ\text{C}$ , 下降更大。

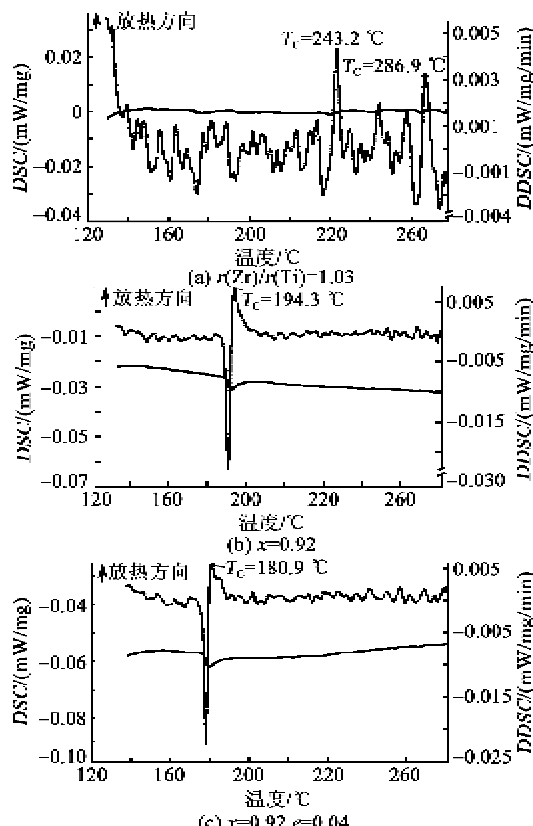


图 8  $A$  位各种取代对 PZN-PNN-PZT 陶瓷材料  $T_c$  的影响

## 3 结论

- 当  $r(\text{Zr})/r(\text{Ti})=1.03$  时, 材料压电性能指标达到最佳。
- 采用  $\text{Ba}^{2+}$  对 PZN-PNN-PZT 陶瓷材料进行  $A$  位取代后, 材料的压电性变好, 居里温度下降。
- 采用  $\text{Ba}^{2+}$ 、 $\text{La}^{3+}$  对 PZN-PNN-PZT 陶瓷材料进行  $A$  位复合取代后, 当添加  $\text{La}^{3+}$  适量时, 陶瓷材料压电性能更好, 但材料的居里温度稍低。

## 参考文献:

- [1] 张福学, 王丽坤. 现代压电学: 中册 [M]. 北京: 科学出版社, 2002.
- [2] HOU Y D, LU P X, ZHU M K. Effect of  $\text{Cr}_2\text{O}_3$  addition on the structure and electrical properties of  $\text{Pb}((\text{Zn}_{1/3}\text{Nb}_{2/3})_{0.2}(\text{Zr}_{1/2}\text{Ti}_{1/2})_{0.8})\text{O}_3$  ceramics [J]. Materials Science and Engineering, 2005, B116(1): 104-108.
- [3] 钟维烈. 铁电体物理学 [M]. 北京: 科学出版社, 2000.